

Design and Numerical Simulation of Tandem Solar Cells Based on Sb_2S_3 to Improve Photovoltaic Performance

Zahra Dahmardeh, Mohsen Saadat*

Department of Physics, Faculty of Science, University Sistan and Baluchestan, Zahedan, Iran

Received: 04.06.2023 Final revised: 05.02.2024 Accepted: 04.03.2024

Doi: [10.22055/jrmbms.2024.19015](https://doi.org/10.22055/jrmbms.2024.19015)

Abstract

In this research, different tandem solar cells were designed and simulated, in which the upper sub-cell is Sb_2S_3 . Different structures including Sb_2Se_3 , CISE, CZTSe and GeTe were proposed for the lower sub-cell. It is very important to match the current in the upper and lower sub-cells in consecutive cells. To reach the current matching point, the thickness of the layers of the lower sub-cell was kept constant and the thickness of the absorbing layer of the upper cell was changed so that the current density in both sub-cells was the same. At the current matching point, the performance of the upper cell under the AM 1.5G standard spectrum radiation and the performance of the lower sub-cell under the filtered spectrum radiation were evaluated, and then the current-voltage characteristic curve of the tandem cell was obtained from the sum of the characteristic curves of the two sub-cells. The efficiency obtained for $\text{Sb}_2\text{S}_3/\text{Sb}_2\text{Se}_3$, $\text{Sb}_2\text{S}_3/\text{CIS}$, $\text{Sb}_2\text{S}_3/\text{CZTSe}$ and $\text{Sb}_2\text{S}_3/\text{GeTe}$ tandem cells was 22.10%, 30.95%, 24.83% and 36.80%, respectively. The greater the energy gap difference of the sub-cells, the more photons are collected and the greater current density is obtained for the cell. The best performance was obtained when GeTe was used as the bottom sub-cell.

Keywords: Tandem Solar Cells, Sb_2S_3 , Numerical Simulation, Filtered Spectrum, Current Matching Technique

* Corresponding Author: Saadat@phys.usb.ac.ir

طراحی و شبیه‌سازی عددی سلول‌های خورشیدی پشت سر هم بر پایه Sb_2S_3 جهت بهبود عملکرد فوتولتائیک

زهرا دهمرده، محسن سعادت*

گروه فیزیک، دانشکده علوم پایه، دانشگاه سیستان و بلوچستان، زاهدان، ایران

دریافت: ۱۴۰۲/۰۳/۱۴ ویرایش نهایی: ۱۴۰۲/۱۱/۱۶ پذیرش: ۱۴۰۲/۱۲/۱۴

Doi: [10.22055/jrmbbs.2024.19015](https://doi.org/10.22055/jrmbbs.2024.19015)

چکیده

در این تحقیق سلول‌های خورشیدی پشت سر هم^۱ مختلفی طراحی و شبیه‌سازی شده که در آنها زیرسلول بالایی Sb_2S_3 است. ساختارهای مختلفی شامل $CISE$ ، Sb_2Se_3 ، $CZTSe$ و $GeTe$ برای زیرسلول پایینی پیشنهاد شد. تطابق جریان در زیرسلول بالا و پایین در سلول‌های پشت سر هم از اهمیت زیادی برخوردار است. برای رسیدن به نقطه تطابق جریان، ضخامت لایه‌های زیرسلول پایینی ثابت نگه داشته شد و ضخامت لایه جاذب سلول بالایی تغییر داده شد تا چگالی جریان در هر دو زیر سلول یکسان شود. در نقطه تطابق جریان، عملکرد سلول بالایی تحت تابش طیف استاندارد AM1.5G و عملکرد زیرسلول پایینی تحت تابش طیف فیلتر شده مورد ارزیابی قرار گرفت و سپس منحنی مشخصه جریان-ولتاژ سلول پشت سر هم از مجموع منحنی‌های مشخصه دو زیرسلول فرعی به دست آمد. بازدهی به دست آمده برای سلول‌های پشت سر هم Sb_2S_3/Sb_2Se_3 ، Sb_2S_3/CIS ، $Sb_2S_3/CZTSe$ و $Sb_2S_3/GeTe$ به ترتیب برابر ۲۲/۱۰٪، ۳۰/۹۵٪، ۲۴/۸۳٪ و ۳۶/۸۰٪ به دست آمد. هر چه اختلاف گاف انرژی سلول‌های فرعی بیشتر باشد، فوتون‌های بیشتری جمع‌آوری می‌شوند و چگالی جریان بزرگتری برای سلول حاصل می‌شود. بهترین عملکرد هنگامی به دست آمد که از $GeTe$ به عنوان زیرسلول پایینی استفاده شد.

کلیدواژگان: سلول خورشیدی پشت سر هم، Sb_2S_3 ، شبیه‌سازی عددی، طیف فیلتر شده، روش تطابق جریان

مقدمه

نور خورشید را مستقیماً به جریان الکتریسیته تبدیل کنند. در حال حاضر، بازار فوتولتائیک عمدتاً در اختیار دستگاه‌های تک پیوندی به‌ویژه سلول‌های خورشیدی سیلیکونی در شکل‌های مختلف است. هر چند سلول‌های خورشیدی سیلیکونی در طی دهه‌ها توسعه یافته‌اند و امروزه به رکورد بازدهی ۲۶/۷٪ رسیده‌اند [۱] که نزدیک به حد تئوری اوژه ۲۹/۴٪ نزدیک است [۲]، اما اخیراً بهبود قابل ملاحظه‌ای در عملکرد این سلول‌ها حاصل نشده است. سیلیکون

امروزه نیاز به انرژی به‌طور گسترده‌ای رو به افزایش است. منبع اصلی تأمین انرژی در حال حاضر سوخت‌های فسیلی هستند که تأثیرات مخربی بر محیط زیست دارند و سبب گرمایش جهانی می‌شوند. سوخت‌های پاک به‌ویژه انرژی خورشیدی جایگزین مناسبی برای سوخت‌های فسیلی محسوب می‌شوند. دستگاه‌های فوتولتائیک می‌توانند بدون ایجاد آلودگی

* نویسنده مسئول: Saadat@phys.usb.ac.ir

¹ Tandem Solar Cells



بلوری پیشگام این عرصه با چالش‌های مهمی مانند گاف انرژی غیرمستقیم مواجه است که مستلزم مصرف مقادیر زیادی مواد فوق‌العاده خالص و همچنین فرآیند ساخت چند مرحله‌ای است که این امر موجب افزایش مصرف انرژی، امکانات فنی و نیروی کار است [۳].

در سال‌های اخیر مواد حجمی و لایه نازک زیادی به‌عنوان لایه جاذب جایگزین سیلیکون در سلول‌های خورشیدی تک پیوندی مورد استفاده قرار گرفته‌اند [۴،۵]، اما به‌هر حال حد بالایی برای سلول‌های خورشیدی تک پیوندی وجود دارد. در سال ۱۹۶۱، شاکلی^۱ و کوئیسر^۲ نشان دادند که بیشترین بازده تئوری برای سلول خورشیدی با لایه جاذب با گاف انرژی 1.34eV برابر 33.7% است [۶]. تا کنون ویفرهای سیلیکون تک کریستال، پروسکایت‌های بر پایه سرب و سلول‌های لایه نازک مانند Cu(In,Ga)Se_2 و CdTe به‌ترتیب به رکورد بازدهی 26.7% ، 25.2% ، 23.3% و 22.1% رسیده‌اند [۷]. این نشان می‌دهد که بازدهی تجربی سلول‌های خورشیدی تک پیوندی نسل اول، دوم و سوم به مقدار تئوری خود نزدیک شده‌اند. سلول‌های تک پیوندی تنها فوتون‌های با انرژی مساوی یا بیشتر از گاف انرژی ماده جاذب را می‌توانند جذب کنند و باقیمانده طیف تابشی هدر می‌رود. حتی در مورد فوتون‌های با انرژی بیشتر از گاف، تفاوت انرژی به‌صورت اتلاف گرمایی ظاهر می‌شود و این سبب کاهش عملکرد سلول می‌شود [۸].

کاربرد جاذب‌های متعدد با گاف انرژی‌های مختلف در سلول‌های پشت سر هم (چند پیوندی)، عملی‌ترین راهکار برای بالا بردن قابل توجه حد بازده فراتر از حد عملی برای دستگاه‌های تک اتصالی است [۹]. سلول‌های خورشیدی پشت سر هم شامل یک زیرسلول

بالا با گاف انرژی زیاد هستند که فوتون‌های فرودی با طول موج کوتاه را جذب می‌کند و یک سلول پایین با گاف انرژی کم که طول موج‌های بلندتر طیف خورشید را جذب می‌کند. ولتاژ مدار باز^۳ (V_{oc}) یک سلول پشت سر هم برابر با مجموع V_{oc} هر یک از سلول‌های فرعی آن است. در سلول‌های پشت سر هم دو ترمینالی، زیرسلول‌ها از نظر الکتریکی و اپتیکی به‌صورت سری به هم متصل هستند. نور ابتدا بر زیرسلول بالایی می‌تابد و بخشی از آن جذب می‌شود و قسمت جذب نشده وارد زیرسلول پایینی می‌شود. قانون اول کیرشهف درباره دو سلول با اتصال الکتریکی سری بیان‌کننده این است که جریان عبوری از دو سلول باید با هم برابر باشد. بنابراین برای بازدهی بهتر لازم است که توانایی تولید جریان در آنها یکسان باشد و از اتلاف انرژی جلوگیری شود [۱۰-۱۲]. بیشترین حد بازدهی برای سلول‌های پشت سر هم با تعداد محدود زیرسلول برابر 68.2% پیش‌بینی شده است [۱۳]. تاکنون سلول‌های خورشیدی چند پیوندی III-V، بازدهی‌های بالاتر از حد شاکلی-کوئیسر تک پیوندی نشان داده‌اند. با این حال، فناوری ساخت این نوع از سلول‌ها در حال حاضر پیچیده و گران قیمت است و عمدتاً برای کاربردهای فضایی استفاده می‌شوند [۱۴،۱۵]. همچنین علیرغم بازدهی قابل توجه سلول‌های خورشیدی تک پیوندی و پشت سر هم پروسکایتی بر پایه سرب، به‌دلیل سمی بودن زیاد و ناپایداری ذاتی محققان به‌دنبال مواد جایگزینی هستند که هم با محیط زیست سازگار باشند و هم پایداری بالایی داشته باشند. فناوری‌های فوتوولتائیک لایه نازک با استفاده از مواد نیم‌رسانای آلی و معدنی مختلف توجه زیادی را به‌خود جلب کرده‌اند

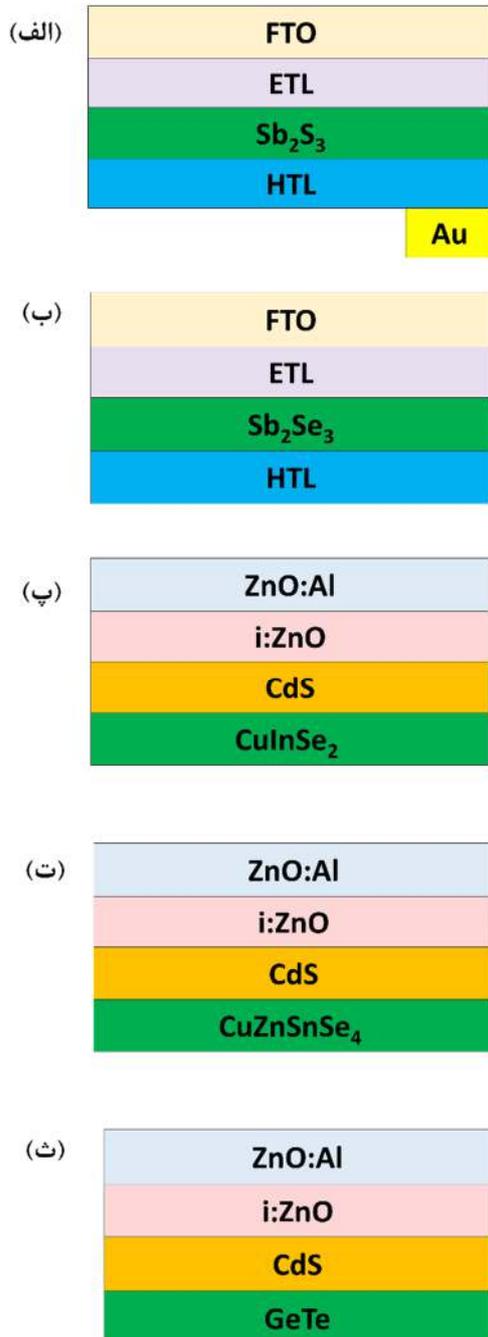
³ Open-Circuit Voltage

¹ Shockley

² Queisser

[۱۹-۱۶].

است، که به صورت زیر هستند:



شکل ۱. ساختار سلول خورشیدی الف) Sb₂S₃ ب) Sb₂Se₃ پ) CIS ت) CZTS و ث) GeTe.

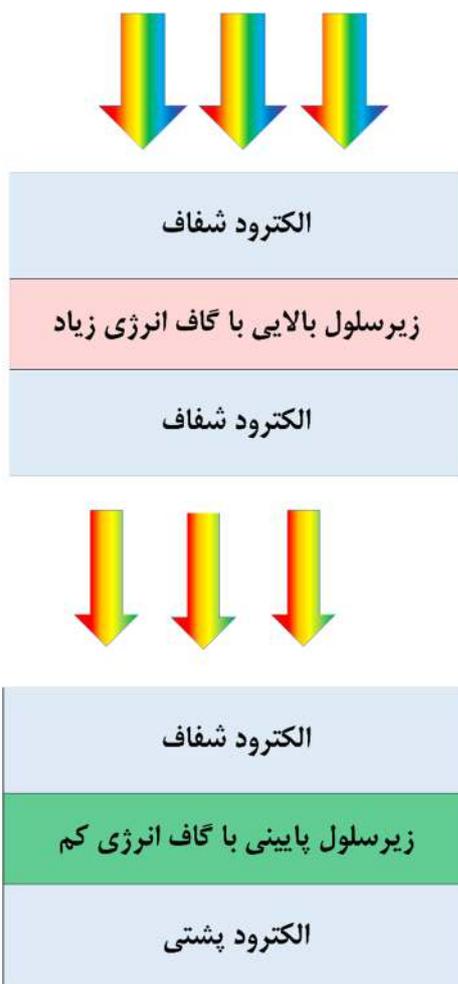
Sb₂S₃ با گاف انرژی مطلوب ۱٫۷ eV، شرایط سنتز مناسب (سنتز در دمای کمتر از ۳۵۰ °C)، پایداری ذاتی، غیرسمی بودن و عناصر تشکیل دهنده ارزان‌تر یکی از مناسب‌ترین نامزدها برای سلول بالایی در سلول‌های پشت سر هم است. بنابراین، در ترکیب با سلول پایین بهینه، Sb₂S₃ می‌تواند یک هم‌تای مناسب برای زیرسلول بالایی در دستگاه‌های پشت سر هم باشد [۲۰]. کالکوزنیدهای لایه نازک مانند CISe، CdTe، Cu₂ZnSnSe₄ و همچنین GeTe به دلیل داشتن ویژگی‌های منحصر به فردی مثل گاف انرژی مناسب، هزینه‌های تولید پایین و پایداری بالا می‌توانند نامزدهای سلول پایینی در دستگاه‌های پشت سر هم مبتنی بر Sb₂S₃ باشند [۲۰].

در این تحقیق با استفاده از نرم‌افزار SCAPS [۲۱] سلول‌های خورشیدی پشت سر هم مختلفی طراحی و شبیه‌سازی شده که در آنها زیرسلول بالایی Sb₂S₃ است. ساختارهای مختلفی شامل CISe، CdTe، CZTTe و GeTe برای زیرسلول پایینی پیشنهاد شد. از آنجایی که چگالی جریان نامتناسب بین دو زیرسلول منبع اصلی کاهش جریان در سلول‌های پشت سر هم است، ابتدا ضخامت جاذب سلول‌های فرعی بالایی به منظور تعیین "نقطه تطابق جریان" که در آن سلول‌های فرعی دارای چگالی جریان برابر هستند، تنظیم و سپس عملکرد ساختار آنالیز شد.

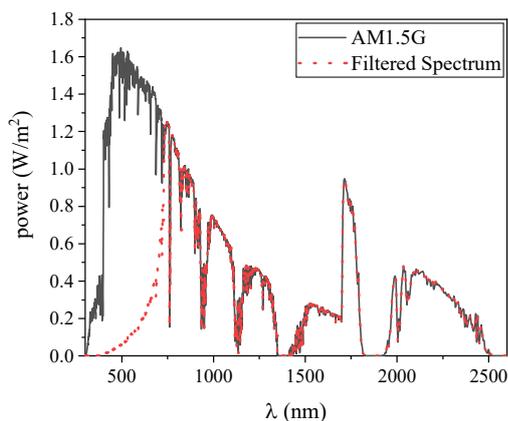
ساختار سلول و روش شبیه‌سازی

در این تحقیق از نرم‌افزار SCAPS [۲۱] برای شبیه‌سازی عددی سلول‌های خورشیدی استفاده شده است. اساس کار این نرم‌افزار بر حل عددی معادله پواسون و معادلات پیوستگی برای الکترون و حفره

¹ Current Matching Point



شکل ۲. طرح سلول خورشیدی پشت سر هم با دو زیرسلول فرعی.



شکل ۳. طیف استاندارد AM 1.5 G و طیف فیلتر شده توسط زیرسلول Sb_2S_3

$$\frac{\partial^2 \Psi}{\partial x^2} + q / \varepsilon [p(x) - n(x) + \quad ۱$$

$$N_D - N_A + \rho_p - \rho_n] = 0$$

$$\frac{1}{q} \frac{dJ_p}{dx} = G_{op}(x) - R(x) \quad ۲$$

$$\frac{1}{q} \frac{dJ_n}{dx} = -G_{op}(x) + R(x) \quad ۳$$

که q و ε بار الکترون و ثابت دی الکتریک، N_A و N_D چگالی حامل‌های دهنده و پذیرنده هستند، Ψ پتانسیل الکترواستاتیک محلی است، p ، n ، ρ_p ، ρ_n ، J_p ، J_n به ترتیب غلظت حفره، غلظت الکترون، الکترون‌ها به دام افتاده، حفره‌های به دام افتاده، چگالی جریان حفره‌ها و الکترون‌ها هستند. G_{op} و R آهنگ تولید و بازترکیب حامل‌های بار هستند. برای همه شبیه‌سازی‌ها طیف خورشیدی استاندارد جهانی جرم هوای ۱/۵ مورد استفاده قرار گرفته است و دما روی ۳۰۰ کلوین تنظیم شد.

ساختار زیرسلول بالایی به صورت $SnO_2:F/ETL$ (CdS)/ absorber (Sb_2S_3)/ HTL Sb_2Se_3 (SpiroOMeTAD)/ Au است. که در آن لایه جاذب است و از کادمیوم سولفید (CdS) به عنوان لایه انتقال دهنده الکترون (ETL^1) و از SpiroOMeTAD به عنوان لایه انتقال دهنده حفره (HTL^2) استفاده شده است. همچنین طلا و $SnO_2:F$ (FTO) اتصال‌های پشتی و جلویی سلول هستند. این ساختار در شکل الف نشان داده شده است. ساختارهای مورد استفاده برای زیرسلول پایینی در شکل‌های ب تا ث نشان داده شده‌اند. ساختار شکل ۱ ب همانند ساختار زیرسلول بالایی است و تنها تفاوت در این است که Sb_2Se_3 به جای Sb_2S_3 نقش لایه جاذب را دارد. در ساختارهای شکل ۱ پ تا ث ZnO و CdS به ترتیب به نقش اکسید رسانای شفاف و لایه بافر را دارند و لایه‌های (CIS) $CuInSe_2$.

² Hole Transport Layer

¹ Electron Transport Layer

که در آن E_g ، A_α ، h و v به ترتیب پیش فاکتور، شکاف انرژی ماده (eV)، ثابت پلانک (eV.sec) و فرکانس طیف (Hz) هستند.

طرحی از سلول پشت سر هم که در آن زیرسلول بالایی تحت تابش طیف استاندارد AM1.5G و زیرسلول پایینی تحت تابش طیف فیلتر شده قرار گرفته‌اند، در شکل ۲ نشان داده شده است. لایه جاذب هر سلول فرعی فوتون‌هایی را که انرژی بالاتر از گاف انرژی‌شان هست جذب می‌کنند. شکل ۳ طیف استاندارد AM1.5G و طیف فیلتر شده توسط زیرسلول Sb_2S_3 را نمایش می‌دهد. همان‌طور که دیده می‌شود بیشتر طیف AM1.5 (تا حدود ۷۳۰ نانومتر) توسط زیرسلول بالایی جذب می‌شود و بقیه طیف به زیرسلول پایینی منتقل می‌شود.

نتایج و بحث

برای شبیه‌سازی سلول‌های خورشیدی پشت سر هم $Sb_2S_3/CZTSe$ ، Sb_2S_3/CIS ، Sb_2S_3/Sb_2Se_3 و $Sb_2S_3/GeTe$ روش شرح داده شده در قسمت قبل برای دستیابی به نقطه تطابق جریان به کار گرفته شد. در هر مورد، چگالی جریان هر دو سلول فرعی با تغییر ضخامت لایه جاذب زیرسلول بالایی مورد بررسی قرار گرفت و نتایج در شکل ۴ نشان داده شده‌اند. نتایج نشان می‌دهد که نقطه تطابق برای سلول‌های خورشیدی پشت سر هم Sb_2S_3/CIS ، Sb_2S_3/Sb_2Se_3 ، $Sb_2S_3/CZTSe$ و $Sb_2S_3/GeTe$ به ترتیب ۵۴۱ nm، ۳۹۷ nm، ۲۲۹ nm برابر با Sb_2S_3 ضخامت ۶۵۳ nm اتفاق می‌افتد.

در نقطه تطابق جریان، منحنی‌های مشخصه جریان-ولتاژ زیرسلول بالایی Sb_2S_3 تحت تابش طیف استاندارد AM1.5G و زیرسلول پایینی، تحت تابش طیف فیلتر شده و همچنین منحنی مشخصه سلول پشت

(CZTSe) $CuZnSnSe_4$ و $GeTe$ به عنوان لایه جاذب عمل می‌کنند. پارامترهای استفاده شده در شبیه‌سازی برای سلول‌های Sb_2S_3 و Sb_2Se_3 در جدول ۱ و برای لایه‌های جاذب سلول‌های پایینی در جدول ۲ آورده شده‌اند.

شبیه‌سازی سلول‌های پشت سر هم با اتصال زیرسلول‌های فرعی با استفاده از روش تطابق جریان انجام شده است. برای این منظور ابتدا زیر سلول بالایی تحت تابش طیف استاندارد AM1.5G قرار می‌گیرد. سپس طیف فیلتر شده توسط زیرسلول بالایی بر زیرسلول پایینی می‌تابد [۱۲]. همان‌طور که قبلاً گفته شد تطابق جریان در زیرسلول بالا و پایین در سلول‌های پشت سر هم از اهمیت زیادی برخوردار است. برای رسیدن به نقطه تطابق جریان ضخامت لایه‌های زیرسلول پایینی ثابت نگه داشته شد و ضخامت لایه جاذب سلول بالایی تغییر داده شد تا چگالی جریان در هر دو زیر سلول یکسان شود. در نقطه تطابق جریان عملکرد سلول بالایی تحت تابش طیف استاندارد AM1.5G و عملکرد زیرسلول پایینی تحت تابش طیف فیلتر شده مورد ارزیابی قرار می‌گیرد و سپس منحنی مشخصه جریان-ولتاژ سلول پشت سر هم از مجموع منحنی‌های مشخصه دو زیرسلول فرعی حاصل می‌شود. طیف فیلتر شده عبوری از زیرسلول بالایی از معادله زیر به دست می‌آید:

$$T(\lambda) = T_0(\lambda) \exp \left[\sum_{k=1}^n -(\alpha_k(\lambda) t_k) \right] \quad 4$$

$T_0(\lambda)$ ، n ، k و t به ترتیب نشان دهنده طیف استاندارد جهانی AM1.5G، شماره لایه، تعداد کل لایه‌های سلول فرعی بالایی و ضخامت هر لایه هستند. همچنین $\alpha(\lambda)$ ضریب جذب هر ماده است و با رابطه زیر داده می‌شود:

$$\alpha(E) = A_\alpha \sqrt{hv - E_g} \quad 5$$

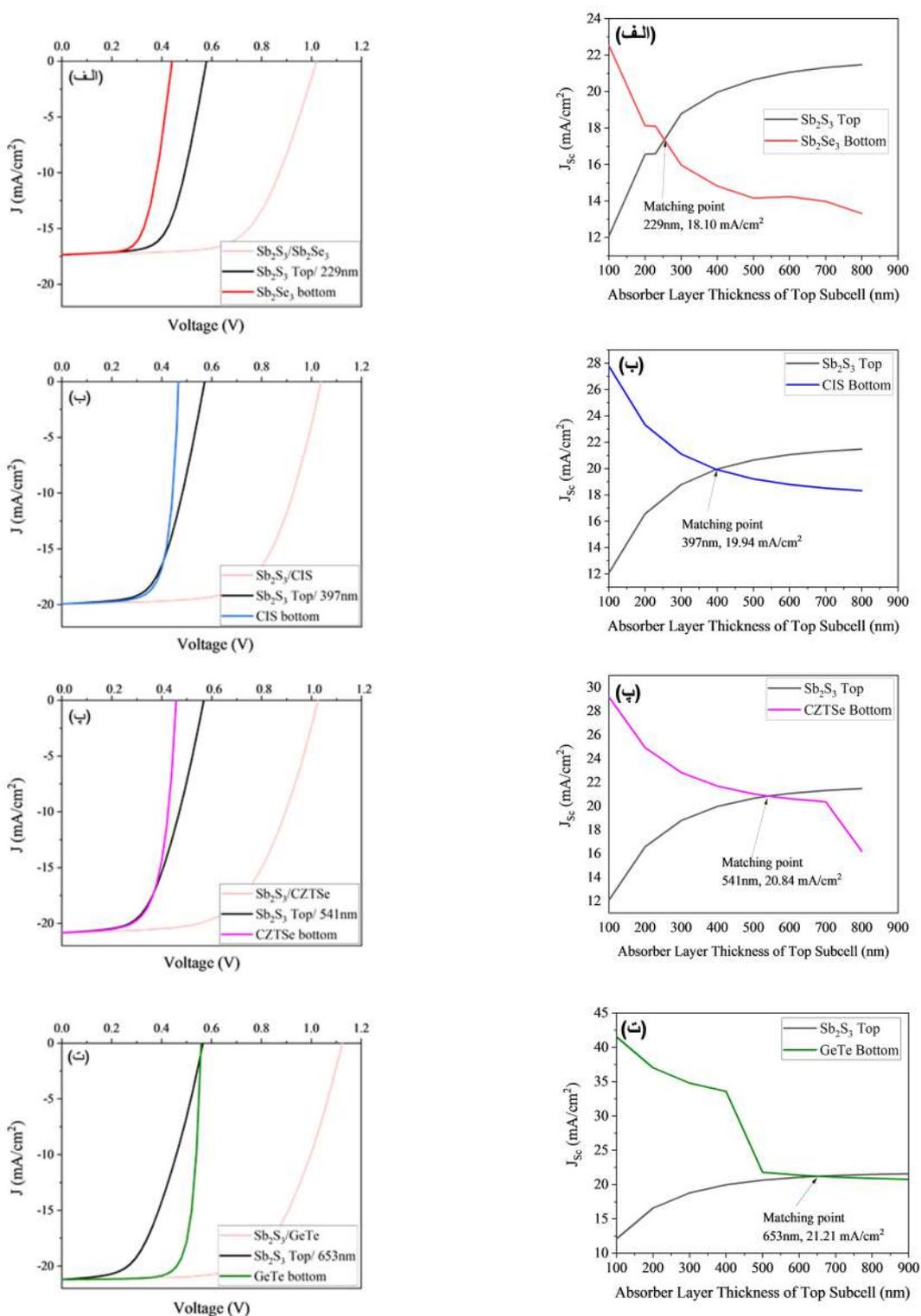
سر هم در شکل ۵ نمایش داده شده‌اند. در جدول ۱ و ۲، E_g گاف انرژی، χ الکترون‌خواهی، ϵ_r ضریب دی‌الکتریک، N_c و N_v چگالی حالات مؤثر نوارهای رسانش و ظرفیت، v_{th}^e و v_{th}^p سرعت گرمایی الکترون و حفره‌ها و μ_p و μ_e تحرک‌پذیری الکترون و حفره‌ها هستند.

جدول ۱. پارامترهای استفاده شده در شبیه‌سازی سلول‌های Sb_2S_3 و Sb_2Se_3 [۲۲-۲۴].

Parameter	Sb_2S_3/Sb_2Se_3	HTL	ETL	FTO
E_g (eV)	۱٫۲ و ۱٫۷	۳٫۰	۲٫۴	۳٫۵
χ (eV)	۴٫۰۴ و ۳٫۷۰	۲٫۰	۴٫۵	۴٫۰
ϵ_r	۱۸ و ۵	۳٫۰	۱۰٫۰	۹٫۰
N_c (cm ⁻³)	$۲٫۲ \times ۱۰^{۱۸}$	$۲٫۵ \times ۱۰^{۱۸}$	$۲٫۲ \times ۱۰^{۱۸}$	$۲٫۲ \times ۱۰^{۱۸}$
N_v (cm ⁻³)	$۱٫۸ \times ۱۰^{۲۰}$	$۱٫۸ \times ۱۰^{۱۹}$	$۱٫۸ \times ۱۰^{۱۹}$	$۱٫۸ \times ۱۰^{۱۹}$
v_{th}^e [cm/s]	۱×۱۰^۷	۱×۱۰^۷	۱×۱۰^۷	۱×۱۰^۷
v_{th}^p [cm/s]	۱×۱۰^۷	۱×۱۰^۷	۱×۱۰^۷	۱×۱۰^۷
μ_e [cm ² /Vs]	۱۵ و ۰٫۸	$۱٫۰ \times ۱۰^{-۲}$	۱۰۰	۲۰
μ_p [cm ² /Vs]	۵٫۱ و ۰٫۲	$۲٫۰ \times ۱۰^{-۱۰}$	۲۵	۱۰

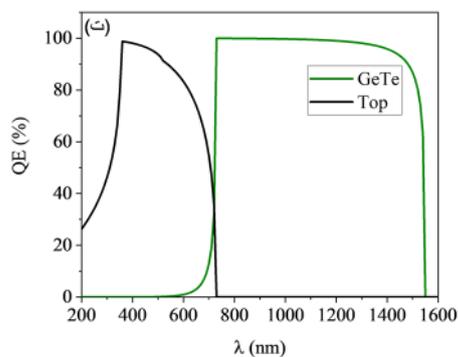
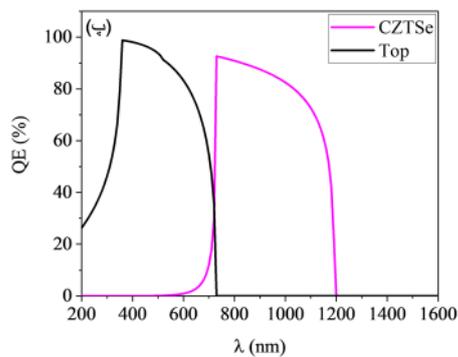
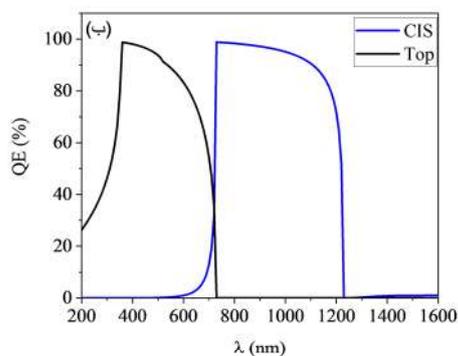
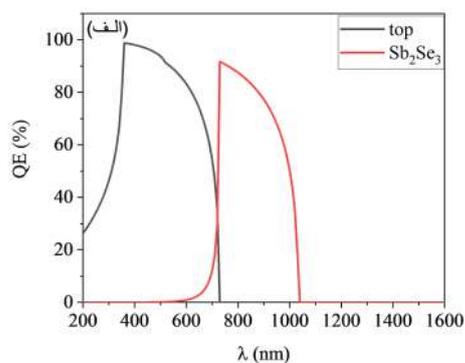
جدول ۲. پارامترهای استفاده شده در شبیه‌سازی سلول‌های CIS، CZTSe و GeTe

Parameter	[25]GeTe	CIS [26]	CZTSSe [27, 28]	[26]ZnO
E_g (eV)	۰٫۸	۱٫۰۱	۱٫۰۴	۳٫۵
χ (eV)	۴٫۸	۴٫۳۴	۴٫۴۷	۴٫۰
ϵ_r	۳۶	۱۳٫۶	۱۰٫۳۶	۹٫۰
N_c (cm ⁻³)	$1,0 \times 10^{16}$	$2,2 \times 10^{18}$	$2,2 \times 10^{18}$	$2,2 \times 10^{18}$
N_v (cm ⁻³)	$1,0 \times 10^{17}$	$1,8 \times 10^{19}$	$1,8 \times 10^{19}$	$1,8 \times 10^{19}$
v_{th}^e [cm/s]	1×10^7	1×10^7	1×10^7	1×10^7
v_{th}^p [cm/s]	1×10^7	1×10^7	1×10^7	1×10^7
μ_c [cm ² /Vs]	۱۰۰	۱۰۰	۱۰۰	۲۰
μ_p [cm ² /Vs]	۲۰	۲۵	۲۵	۱۰

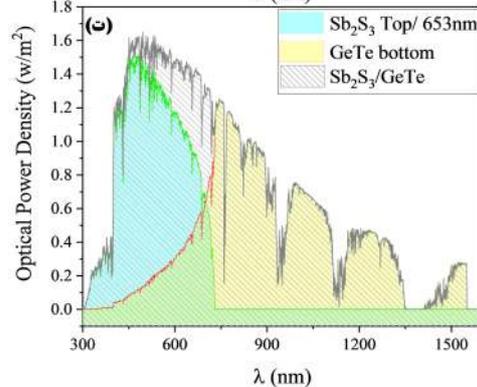
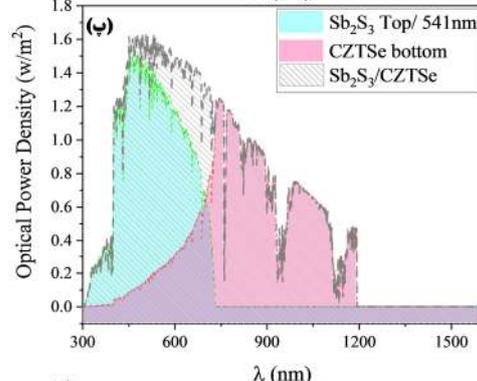
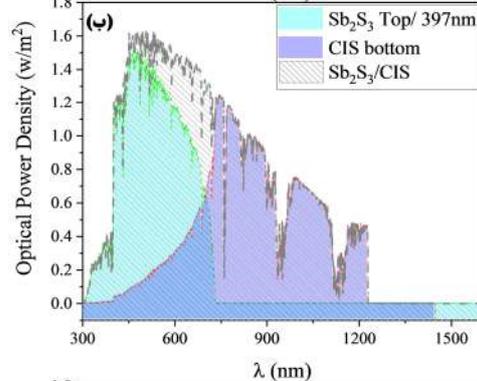
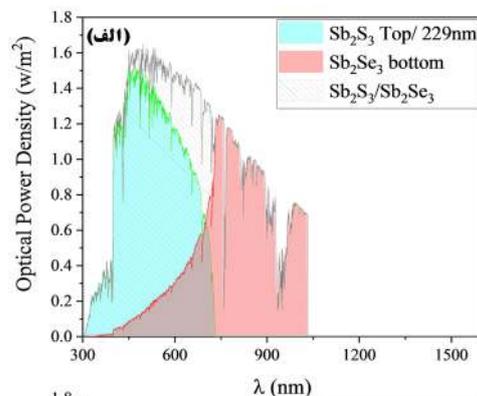


شکل ۵. منحنی مشخصه جریان-ولتاژ زیرسلول‌ها و سلول نهایی برای ساختارهای پشت سر هم الف) Sb_2S_3/Sb_2Se_3 ب) Sb_2S_3/CIS پ) $Sb_2S_3/CZTSe$ و ت) $Sb_2S_3/GeTe$.

شکل ۴. چگالی جریان مدار کوتاه زیرسلول‌ها برحسب ضخامت لایه جذب زیرسلول بالایی برای ساختارهای پشت سر هم الف) Sb_2S_3/Sb_2Se_3 ب) Sb_2S_3/CIS پ) $Sb_2S_3/CZTSe$ و ت) $Sb_2S_3/GeTe$.



شکل ۷. بازدهی کوآنتومی خارجی زیرسلول‌ها برای ساختارهای پشت سر هم الف) Sb_2S_3/Sb_2Se_3 ب) Sb_2S_3/CIS پ) $Sb_2S_3/CZTSe$ و ت) $Sb_2S_3/GeTe$.



شکل ۶. طیف جذب شده توسط هر یک از زیر سلول‌ها و سلول نهایی برای ساختارهای پشت سر هم الف) Sb_2S_3/Sb_2Se_3 ب) Sb_2S_3/CIS پ) $Sb_2S_3/CZTSe$ و ت) $Sb_2S_3/GeTe$.

شده و جریان آن هم افزایش یابد. نکته قابل توجه دیگر این است که ضریب پر شدن (FF) سلول بالایی با افزایش ضخامت آن کاهش می‌یابد، به طوری که برای ساختار Sb_2S_3/Sb_2Se_3 مقدار ضخامت برابر ۲۲۹ نانومتر و مقدار FF برابر ۶۴/۱۰٪، برای Sb_2S_3/CIS مقدار ضخامت برابر ۳۹۷ نانومتر و مقدار FF برابر ۵۸/۱۷٪، برای $Sb_2S_3/CZTSe$ مقدار ضخامت ۵۴۱ نانومتر و مقدار FF برابر ۵۳/۷۲٪ و برای $Sb_2S_3/GeTe$ مقدار ضخامت ۶۵۳ نانومتر و مقدار FF برابر ۵۰/۰۱٪ است. دلیل این موضوع این است که با افزایش ضخامت، مقاومت سری کلی دستگاه افزایش می‌یابد [۲۹].

نتایج جدول ۳ نشان می‌دهد که سلول‌های پشت سرهم Sb_2S_3/Sb_2Se_3 ، Sb_2S_3/CIS ، $Sb_2S_3/CZTSe$ و $Sb_2S_3/GeTe$ به ترتیب بازدهی ۲۲/۱۰٪، ۳۰/۹۵٪، ۴/۸۳٪ و ۳۶/۸۰٪ دارند. بهترین عملکرد مربوط به ساختار $Sb_2S_3/GeTe$ است و این عمدتاً به دلیل اختلاف گاف انرژی بیشتری است که بین زیرسلول‌های فرعی این ساختار در مقایسه با ساختارهای دیگر وجود دارد. ولتاژ مدار باز، جریان مدار کوتاه و ضریب پرشدگی این ساختار نیز به ترتیب برابر ۱/۱۲ V، ۲۱/۲۱ mA/cm² و ۶۲/۹۰٪ هستند.

جدول ۳ پارامترهای فوتولتاییک وابسته را برای سلول‌های خورشیدی پشت سر هم مختلف نشان می‌دهد. در این جدول ولتاژ مدار باز^۱ (V_{oc}) برحسب ولت، جریان مدار کوتاه^۲ (J_{sc}) برحسب mA/cm²، فاکتور پرشدگی^۳ (FF) و بازدهی^۴ (η) برحسب درصد هستند. مقادیر جریان مدار کوتاه برای ساختارهای $Sb_2S_3/CZTSe$ ، Sb_2S_3/CIS ، Sb_2S_3/Sb_2Se_3 و $Sb_2S_3/GeTe$ به ترتیب برابر با ۱۸/۱۰، ۱۹/۹۴، ۲۰/۸۴ و ۲۱/۲۱ میلی‌آمپر بر سانتی‌متر مربع به دست آمدند. کمترین جریان هنگامی به دست می‌آید که از Sb_2Se_3 به عنوان زیرسلول پایینی استفاده شود و بیشترین جریان نیز برای $Sb_2S_3/GeTe$ حاصل می‌شود. این موضوع به این دلیل است که در بین زیرسلول‌های پایینی Sb_2Se_3 بیشترین گاف انرژی (۱/۲ eV) و $GeTe$ کمترین گاف انرژی (۰/۸ eV) را دارند و هر سلول فوتون‌های با انرژی بیشتر از گاف لایه جذب خودش را جذب می‌کند. هر چه اختلاف گاف انرژی سلول‌های فرعی بیشتر باشد، فوتون‌های بیشتری جمع‌آوری می‌شوند. با کاهش گاف زیرسلول پایینی، طول موج‌های بلندتری از طیف که قبلاً جذب نمی‌شدند، جذب می‌شوند و این منجر به تولید فوتوالکترون‌های بیشتری در داخل سلول می‌شود. این مطلب توسط شکل‌های ۶ و ۷ تأیید می‌شود که نشان می‌دهند کمترین مقدار جذب طیف ورودی در ساختار Sb_2S_3/Sb_2Se_3 و بیشترین مقدار جذب در ساختار $Sb_2S_3/GeTe$ اتفاق می‌افتد. با کاهش گاف انرژی در زیرسلول پایینی تعداد فوتون بیشتری جذب می‌شود و بنابراین جریان آن زیاد می‌شود؛ برای آن که تطابق جریان در دو سلول برقرار شود، ضخامت لایه جذب بالایی باید افزایش یابد تا تعداد فوتون بیشتری هم در سلول بالایی جذب

³ Fill Factor⁴ Efficiency¹ Open-Circuit Voltage² Short-Circuit Current

نتیجه‌گیری

در این تحقیق سلول‌های پشت سرهم $Sb_2S_3/CZTSe$ ، Sb_2S_3/CIS ، Sb_2S_3/Sb_2Se_3 و $Sb_2S_3/GeTe$ به ترتیب با بازدهی ۲۲/۱۰٪، ۳۰/۹۵٪، ۴/۸۳٪ و ۳۶/۸۰٪ شبیه‌سازی شدند. در این ساختارها سلول فرعی بالای Sb_2S_3 با گاف انرژی بالا تشکیل شده و سلول فرعی پایین از CIS ، Sb_2Se_3 ، $CZTSe$ و $GeTe$ که گاف انرژی کوچکتری دارند، ساخته شده است. طیف فیلتر شده و روش تطابق جریان برای شبیه‌سازی سلول‌های خورشیدی پشت سرهم استفاده شد. در ساختارهای Sb_2S_3/Sb_2Se_3 ، Sb_2S_3/CIS ، $Sb_2S_3/GeTe$ و $Sb_2S_3/CZTSe$ تطابق جریان هنگامی صورت گرفت که ضخامت لایه جاذب سلول فرعی بالایی در این ساختارها به ترتیب برابر ۲۲۹، ۳۹۷، ۵۴۱ و ۶۵۳ نانومتر انتخاب شد. در نقطه تطابق جریان عملکرد فوتوولتاییک سلول‌ها بررسی شد. بهترین عملکرد برای ساختار $Sb_2S_3/GeTe$ به دست آمد که منجر به بازدهی ۳۶/۸۰٪، ولتاژ مدار باز ۱/۱۲ V، جریان مدار کوتاه 21.21 mA/cm^2 و ضریب پرشدگی ۶۲/۹۰٪ شد.

مرجع‌ها

- [1] K. Yoshikawa, H. Kawasaki, W. Yoshida, T. Irie, K. Konishi, K. Nakano, T. Uto, D. Adachi, M. Kanematsu, H. Uzu, K. Yamamoto, Silicon heterojunction solar cell with interdigitated back contacts for a photoconversion efficiency over 26%, *Nature Energy* 2 (2017) 1-8. <https://doi.org/10.1038/nenergy.2017.32>
- [2] A. Richter, M. Hermle, S.W. Glunz, Reassessment of the Limiting Efficiency for Crystalline Silicon Solar Cells, *IEEE Journal of Photovoltaics* 3 (2013) 1184-1191. <https://doi.org/10.0.4.85/JPHOTOV.2013.2.270351>

جدول ۳. پارامترهای فوتوولتاییک سلول نهایی برای ساختارهای پشت سر هم Sb_2S_3/Sb_2Se_3 ، Sb_2S_3/CIS ، $Sb_2S_3/CZTSe$ و $Sb_2S_3/GeTe$

Sb ₂ S ₃ / GeTe	Sb ₂ S ₃ / CZTS	Sb ₂ S ₃ / CIS	Sb ₂ S ₃ / Sb ₂ Se ₃	ساختار
۰/۵۷	۰/۵۷	۰/۵۷	۰/۵۸	Voc بالایی
۲۱/۲۱	۲۰/۸۴	۱۹/۹۴	۱۶/۶۰	Jsc بالایی
۵۰/۰۱	۵۳/۷۲	۵۸/۱۷	۶۴/۱۰	FF بالایی
۱۴/۷۳	۱۲/۳۸	۱۵/۳۰	۱۲/۲۰	η بالایی
۰/۵۶	۰/۴۶	۰/۴۷	۰/۴۴	Voc پایینی
۲۱/۲۱	۲۰/۸۴	۱۹/۹۴	۱۸/۱۰	Jsc پایینی
۷۸/۳۰	۶۷/۱۳	۷۳/۰۶	۶۴/۱۰	FF پایینی
۲۲/۷۵	۱۲/۴۷	۱۵/۷۳	۱۰/۲۰	η پایینی
۱/۱۲	۱/۰۳	۱/۰۴	۱/۰۲	Voc کل
۲۱/۲۱	۲۰/۸۴	۱۹/۹۴	۱۸/۱۰	Jsc کل
۶۲/۹۰	۵۹/۶۵	۶۴/۷۵	۶۰/۳۰	FF کل
۳۶/۸۰	۲۴/۸۳	۳۰/۹۵	۲۲/۱۰	η کل

<https://doi.org/10.1088/1361-6463/aa8655>

[11] Y. Cheng, L. Ding, Perovskite/Si tandem solar cells: Fundamentals, advances, challenges, and novel applications, *SusMat* 1 (2021) 324-344.

<https://doi.org/10.1002/sus2.25>

[12] N. Shrivastav, J. Madan, R. Pandey, A.E. Shalan, Investigations aimed at producing 33% efficient perovskite-silicon tandem solar cells through device simulations, *RSC Advances* 11 (2021) 37366-3737.

<https://doi.org/10.1039/D1RA06250F>

[13] A.D. Vos, Detailed balance limit of the efficiency of tandem solar cells, *Journal of Physics D: Applied Physics* 13 (1980) 839.

<https://dx.doi.org/10.1088/0022-3727/13/5/018>

[14] J.F. Geisz, R.M. France, K.L. Schulte, M.A. Steiner, A.G. Norman, H.L. Guthrey, M.R. Young, T. Song, T. Moriarty, Six-junction III-V solar cells with 47.1% conversion efficiency under 143 Suns concentration, *Nature Energy* 5 (2020) 326-335. <https://doi.org/10.1038/s41560-020-0598-5>

[15] I. Tobías, A. Luque, Ideal efficiency of monolithic, series-connected multijunction solar cells, *Progress in Photovoltaics: Research and Applications* 10 (2002) 323-329. <https://doi.org/10.1002/pip.427>

[16] S. Mathew, A. Yella, P. Gao, R. Humphry-Baker, B.F.E. Curchod, N. Ashari-Astani, I. Tavernelli, U. Rothlisberger, M.K. Nazeeruddin, M. Grätzel, Dye-sensitized solar cells with 13% efficiency achieved through the molecular engineering of porphyrin sensitizers, *Nature Chemistry* 6 (2014) 242-247. <https://doi.org/10.1038/nchem.1861>

[17] L. Dou, J. You, Z. Hong, Z. Xu, G. Li, R.A. Street, Y. Yang, 25th Anniversary Article: A Decade of Organic/Polymeric Photovoltaic Research, *Advanced Materials* 25 (2013) 6642-6671. <https://doi.org/10.1002/adma.201302563>

[3] T.K. Todorov, D.M. Bishop, Y.S. Lee, Materials perspectives for next-generation low-cost tandem solar cells, *Solar Energy Materials and Solar Cells* 180 (2018) 350-357.

<https://doi.org/10.1016/j.solmat.2017.07.033>

[4] S. Sharma, K.K. Jain, A. Sharma, Solar cells: in research and applications—a review, *Materials Sciences and Applications* 6 (2015) 1145.

<https://doi.org/10.4236/msa.2015.612113>

[5] J. Dhilipan, N. Vijayalakshmi, D.B. Shanmugam, R. Jai Ganesh, S. Kodeeswaran, S. Muralidharan, Performance and efficiency of different types of solar cell material—A review, *Materials Today: Proceedings* 66 (2022) 1295-1302

<https://doi.org/10.1016/j.matpr.2022.05.132>

[6] W. Shockley, H.J. Queisser, Detailed Balance Limit of Efficiency of p-n Junction Solar Cells, *Journal of Applied Physics* 32 (2004) 510-519.

<https://doi.org/10.1063/1.1736034>

[7] National Renewable Energy Laboratory Best Research-Cell Efficiency, (2022). Available from:

<https://www.nrel.gov/pv/cell-efficiency.html>

[8] M. Mousa, F.Z. Amer, R.I. Mubarak, A. Saeed, Simulation of Optimized High-Current Tandem Solar-Cells With Efficiency Beyond 41%, *IEEE Access* 9 (2021) 49724-49737.

<https://doi.org/10.1109/ACCESS.2021.3069281>

[9] M.A. Green, Commercial progress and challenges for photovoltaics, *Nature Energy* 1 (2016) 150-155.

<https://doi.org/10.1038/nenergy.2015.15>

[10] S.M. Iftiqar, J. Jung, J. Yi, Improved efficiency of perovskite-silicon tandem solar cell near the matched optical absorption between the subcells, *Journal of Physics D: Applied Physics* 50 (2017) 405501.

- [25] M.M. Salah, A. Zekry, M. Abouelatta, A. Shaker, M. Mousa, F.Z. Amer, R.I. Mubarak, A. Saeed, High-Efficiency Electron Transport Layer-Free Perovskite/GeTe Tandem Solar Cell: Numerical Simulation, *Crystals* 12 (2022) 878. <https://doi.org/10.3390/cryst12070878>
- [26] M. Saadat, O. Amiri, A. Rahdar, Optimization of (Zn,Sn)O buffer layer in Cu(In,Ga)Se₂ based solar cells, *Solar Energy* 189 (2019) 464-470. <https://doi.org/10.1016/j.solener.2019.07.093>
- [27] M. Haghghi, M. Minbashi, N. Taghavinia, D.-H. Kim, S.M. Mahdavi, A.A. Kordbacheh, A modeling study on utilizing SnS₂ as the buffer layer of CZT(S, Se) solar cells, *Solar Energy* 167 (2018) 165-171. <https://doi.org/10.1016/j.solener.2018.04.010>
- [28] M. Minbashi, M.K. Omrani, N. Memarian, D.-H. Kim, Comparison of theoretical and experimental results for band-gap-graded CZTSSe solar cell, *Current Applied Physics* 17 (2017) 1238-1243. <https://doi.org/10.1016/j.cap.2017.06.003>
- [29] N. Singh, A. Agarwal, M. Agarwal, Numerical simulation of highly efficient lead-free all-perovskite tandem solar cell, *Solar Energy* 208 (2020) 399-410. <https://doi.org/10.1016/j.solener.2020.08.003>
- [18] A. Chirilă, P. Reinhard, F. Pianezzi, P. Bloesch, A.R. Uhl, C. Fella, L. Kranz, D. Keller, C. Gretener, H. Hagendorfer, D. Jaeger, R. Erni, S. Nishiwaki, S. Buecheler, A.N. Tiwari, Potassium-induced surface modification of Cu(In,Ga)Se₂ thin films for high-efficiency solar cells, *Nature Materials* 12 (2013) 1107-1111. <https://doi.org/10.1038/nmat3789>
- [19] M. Graetzel, R.A.J. Janssen, D.B. Mitzi, E.H. Sargent, Materials interface engineering for solution-processed photovoltaics, *Nature* 488 (2012) 304-312. <https://doi.org/10.1038/nature11476>
- [20] U.A. Shah, S. Chen, G.M.G. Khalaf, Z. Jin, H. Song, Wide Bandgap Sb₂S₃ Solar Cells, *Advanced Functional Materials* 31 (2021) 2100265. <https://onlinelibrary.wiley.com/doi/abs/10.1002/adfm.202100265>
- [21] M. Burgelman, P. Nollet, S. Degraeve, Modelling polycrystalline semiconductor solar cells, *Thin Solid Films* 361 (2000) 527-532. [https://doi.org/10.1016/S0040-6090\(99\)00825-1](https://doi.org/10.1016/S0040-6090(99)00825-1)
- [22] M. Saadat, O. Amiri, Fine adjusting of charge carriers transport in absorber/HTL interface in Sb₂(S,Se)₃ solar cells, *Solar Energy* 243 (2022) 163-173. <https://doi.org/10.1016/j.solener.2022.07.047>
- [23] Z. Dahmardeh, M. Saadat, Exploring the potential of standalone and tandem solar cells with Sb₂S₃ and Sb₂Se₃ absorbers: a simulation study, *Scientific Reports* 13 (2023) 22632. <https://doi.org/10.1038/s41598-023-49269-w>
- [24] Z. Dahmardeh, M. Saadat, O. Amiri, Enhancing photovoltaic performance of antimony sulfide-selenide tandem solar cells through selenium content variation: Modeling and simulation analysis, *Solar Energy* 262 (2023) 111788. <https://doi.org/10.1016/j.solener.2023.06.006>